



مدل ریاضی شبیه‌سازی جریان غیرماندگار در شبکه‌های آبیاری با وجود شرایط مرزی داخلی (مطالعه موردنی شبکه دربند کرمانشاه)

رسول قبادیان^{۱*} - ساحره گلزاری^۲

تاریخ دریافت: ۹۰/۲/۳

تاریخ پذیرش: ۹۰/۸/۱۵

چکیده

جریان‌های غیرماندگار بهره‌برداری بهینه از شبکه‌های آبیاری را با مشکل موواجه می‌سازند؛ بنابراین شناخت دقیق آنها ضروری است. از این رو در این مقاله مدلی کامپیوترا تهیه شده است که در یک شبکه آبیاری، جریان غیرماندگار ایجاد شده به دلیل تحويل و توزیع آب و تعییرات ناگهانی جریان ورودی به سیستم را شبیه سازی می‌کند. در مدل مذکور معادلات جریان غیرماندگار یک بعدی در حالت کلی (معادلات سنت-ونانت) با روش تفاضل-های محدود منفصل شده‌اند. رقوم جریان در محل انشعاب کanal فرعی از اصلی، با استفاده از روش خط تأثیر و بهصورت کاملاً ضمنی در هر گام زمانی تعیین می‌گردد. با سه مثال موردنی، مدل مذکور مورد صحبت‌ستجی دقیق قرار گرفت و نشان داده شد که می‌تواند موج مثبت بالارونده در اثر بسته شدن ناگهانی دریچه و همچنین جریان متغیر تدریجی در یک شبکه حلقه‌ای پیچیده را بهخوبی شبیه‌سازی نماید. علاوه بر این، تطابق خوبی بین نتایج مدل حاضر با نتایج مدل ICSS، در شبیه‌سازی جریان غیرماندگار در یک کanal منفرد (کanal E1R1 شبکه dz) با انواع سازه‌های آب‌گیر و آب‌بند وجود دارد. پس از صحبت‌ستجی مدل، کanal انتقال شبکه دربند کرمانشاه به طول ۱۴ کیلومتر با ۵ کanal درجه دو منشعب شده از آن، بهصورت یکپارچه شبیه‌سازی گردید. نتایج شبیه‌سازی نشان داد در اثر کاهش ۲۵ درصدی دبی کanal انتقال (از ۱۷/۷۱ به ۱۳/۲۸ مترمکعب بر ثانیه) بهصورت ناگهانی، دبی آب‌گیری کanal‌های فرعی درجه دو بین ۱۸/۶۸ تا ۲۶/۱۵ درصد تعییر می‌نماید. علاوه بر این در محل آبگیر کanal درجه دو SC5 حداقل ۴/۴۲ ساعت شرایط جریان غیرماندگاریاقی می‌ماند.

واژه‌های کلیدی: مدل ریاضی، شبکه آبیاری دربند، جریان غیرماندگار، معادلات سنت-ونانت

مقدمه

ریاضی، پیش‌بینی دقیق وضعیت و رفتار جریان بسیار مشکل است. اولین مطالعات جریان‌های غیرماندگار در مجاري روباز، بیش از ۱۵ سال قبل با تحقیقات ریاضی دانان فرانسوی، لابلس و لاگرانژ شروع شد که رابطه سرعت موج در آبهای کم عمق اولین نتیجه این مطالعات بود. بعد از آن راسل آزمایش‌هایی را در مورد حرکت امواج در طول کanal انجام داد و داده‌های زیادی بهمنظور صحت‌یابی فرمول تئوری جمع‌آوری نمود. پارتیوت به مطالعه پدیده طبیعی جریان‌های غیرماندگار جذر و مدعی پرداخت. سپس بوزینسک تحقیقات فراونی را در مورد تئوری امواج در هیدرولیک منتشر نمود. پس از آن، مطالعات پیشرفت‌هه جریان‌های غیرماندگار در مجاري روباز، با ارائه دو معادله با مشتقات جزئی به نام سنت-ونانت شروع شد (۱).

با توسعه روش‌های عددی و مدل‌های شبیه‌سازی هیدرودینامیک، امکانات بیشتری برای مدیریت بهینه شبکه‌های آبیاری به وجود آمده است. منعم (۱۲) با استفاده از یک روش عددی

کanal‌های آبیاری یکی از مهمترین محل‌های تشکیل جریان غیرماندگار می‌باشند. عامل آن باز و بسته شدن دریچه‌ها و سازه‌های تنظیم ارتفاع آب می‌باشد. انتشار جریان غیرماندگار در کanal‌های آبیاری موجب تأثیر قابل ملاحظه‌ای بر عملکرد کanal‌ها و سازه‌های مرتبط و در نهایت موجب کاهش عملکرد شبکه می‌شود؛ چون جریان غیرماندگار موجب تعییر مکانی و زمانی دبی و عمق در سرتاسر شبکه می‌گردد. تبع سازه‌های آبی، انواع سیستم‌های کنترل و میزان کنترل جریان عبوری از آنها در شبکه، موجب پیچیدگی رفتار هیدرولیکی جریان در شبکه‌ها می‌شود؛ بهطوری که بدون استفاده از مدل‌های

۱- استادیار و دانشجوی کارشناسی ارشد گروه مهندسی آب، دانشکده کشاورزی، دانشگاه رازی، کرمانشاه
(Email: rsghobadian@gmail.com)
۲- نویسنده مسئول:

جریان غیرماندگار در شبکه را به وجود آورد. شبیه سازی هیدرولیکی جریان غیرماندگار در یک شبکه آبیاری، با حل همزمان معادلات پیوستگی و اندازه حرکت که به معادلات سنت - ونانت معروف می باشند، انجام می شود. در این تحقیق معادلات مذکور به صورت زیر استفاده شده است :

$$\frac{\partial Q}{\partial x} + T_w \frac{\partial Z}{\partial t} = q_i \quad (1)$$

$$\frac{\partial Q}{\partial t} - \frac{2\beta QT_w}{A} \frac{\partial Z}{\partial t} + \frac{2\beta Qq_i}{A} - \beta \frac{Q^2}{A^2} \frac{\partial A}{\partial x} = -gA \frac{\partial A}{\partial x} - g \frac{n_m^2 Q|Q|}{AR^{4/3}} \quad (2)$$

که در آنها Q دبی جریان، A سطح مقطع جریان، Z رقوم سطح آب، T_w عرض سطح آب، β ضریب اندازه حرکت، n_m ضریب زبری مانینگ، R شعاع هیدرولیکی مقطع و q_i دبی جریان ورودی یا خروجی (ورودی مثبت و خروجی منفی) در واحد طول کanal می باشد. با استفاده از روش تفاضل های محدود (finite difference)، معادلات بالا منفصل شده اند. بازه مورد نظر، که شامل طول هر یک کanal های شبکه می باشد، به صورت تناوبی (Staggered Grid) گره بندی شده است. چنانچه شرط مرزی بالادست، هیدرولیک و شرط مرزی پائین دست، رابطه دبی - اشل یا رقوم سطح آب در گره باشد (همانند کanal های درجه ۲ و یا بازه ابتدائی کanal انتقال قبل از اولین انشعاب)، ابتدا معادله پیوستگی بر روی مقاطع با شماره زوج و سپس معادله شرط مرزی بالادست و پائین دست بازه، رقوم سطح آب باشد (کanal انتقال بین هر دو انشعاب)، ابتدا معادله اندازه حرکت بر روی مقاطع با شماره زوج و سپس معادله پیوستگی بر روی مقاطع با فرد منفصل می شوند. پس از منفصل کردن معادله پیوستگی روی هر یک از گره های انتقال، مورد نظر در هر یک از کanal های شبکه رابطه خطی زیر حاصل می شود:

$$a_{pi} \times Q^{n+1}_{i-1} + b_{pi} \times Z^{n+1}_i + c_{pi} \times Q^{n+1}_{i+1} = d_{pi} \quad (3)$$

که در آن:

$$a_{pi} = -\frac{\theta}{x_{i+1} - x_{i-1}} = -c_{pi}, \quad b_{pi} = \frac{T_w^n}{\Delta t}$$

$$d_{pi} = -\frac{(1-\theta)(Q^n_{i+1} - Q^n_{i-1})}{x_{i+1} - x_{i-1}} + \frac{T_w^n \times Z^n_i}{\Delta t} + \frac{Q^{n+1}_i}{x_{i+1} - x_{i-1}}$$

همچنین منفصل کردن معادله اندازه حرکت رابطه خطی زیر را نتیجه می دهد:

$$a_{mi} \times Z^{n+1}_{i-1} + b_{mi} \times Q^{n+1}_i + c_{mi} \times Z^{n+1}_{i+1} = d_{mi} \quad (4)$$

که در آن:

پیشرفتنه در بهینه سازی و با استفاده از بکار گیری مدل شبیه سازی ICSS، مدل ریاضی برای ارزیابی و بهبود عملکرد شبکه های آبیاری ارائه داد. محسنی موحد (۵) با استفاده از تلفیق مدل هیدرودینامیک ICSS و الگوریتم بهینه سازی، به ارزیابی و بهبود عملکرد یکی از کanal های شبکه آبیاری در پرداخت. کسب دوز و همکاران (۳) با استفاده از مدل ICSS در شبکه آبیاری قوری چای، مناسب ترین گزینه، یعنی توزیع آب مدام با دبی متغیر را تعیین کردند. منعم و همکاران (۶) با تحلیل جریان غیرماندگار ایجاد شده در کanal آبیاری در اثر تغییرات نیاز آب گیرها، دستور العمل بهره برداری از شبکه در پرداخت. قدوسی و همکاران (۲) با استفاده از مدل ICSS ارائه دادند. قدوسی و همکاران (۷) با استفاده از روش صریح مک کورمک، به شبیه سازی جریان غیرماندگار در شبکه آبیاری با شرط مرزی داخلی پرداختند. حبیب و همکاران (۹) با استفاده از مدل SIC، به منظور شبیه سازی کanal های آبیاری تهیه شده، شرایط هیدرولیکی و بهره برداری در شبکه آبیاری در پاکستان را شبیه سازی نموده و وضعیت کanal ها را مورد مطالعه قرار دادند.

کیاپاشا و همکاران (۴)، با استفاده از تکنیک فازی سیستم کنترلی برای تنظیم عمق آب در کanal های آبیاری تدوین کردند و با استفاده از مدل هیدرودینامیک ICSS در کanal E1R1 از شبکه در، عملکرد آن را مورد ارزیابی قرار دادند. همچنین منعم و همکاران (۷) با استفاده از الگوریتم بهینه سازی PSO (رفتار جمعی اجزا) در کanal Amx شبکه آبیاری ورامین، به برنامه ریزی توزیع و تحويل مناسب آب در شبکه های آبیاری پرداختند که با حداقل سازی ظرفیت کanal و حداکثر استفاده از دور آبیاری، برنامه ریزی مناسب برای بهره برداری را تدوین کردند. با توجه با اهمیت شناخت جریان های غیرماندگار و اثرات آن در شبکه های آبیاری، در این تحقیق مدلی کامپیوترا توسعه یافت که در آن معادلات دیفرانسیلی جریان غیرماندگار پس از خطی شدن به روش تفاضل های محدود و تکنیک تناوبی، حل می شوند. رقوم سطح آب در محل انشعاب ها به صورت کاملاً ضمنی و با استفاده از تکنیک خط تأثیر در هر گام زمانی به دست می آید. مدل مذکور مجموعه کanal ها را به صورت یکجا شبیه سازی نموده و این قابلیت را دارد که تأثیر کاهش یا افزایش دبی ورودی به سیستم بر روی دبی هر یک از آب گیرها و همچنین زمان رسیدن و تداوم شرایط غیرماندگاری در محل آب گیرها را محاسبه و ارزیابی نماید.

مواد و روش ها

مدل ریاضی و شرایط مرزی

همان گونه که قبلاً اشاره گردید، هدف از این تحقیق شبیه سازی جریان غیرماندگار در یک شبکه آبیاری است که می تواند در اثر تغییر بازشگی در چهار گره ای دهانه آب گیر کanal انتقال به وجود آید. همچنین بستن و یا باز نمودن دهانه های آب گیر کanal های درجه ۲، می تواند

اندازه حرکت خطی شده در یک کاتال با شرایط مرزی دبی و سطح آب بهترین برای بالادست و پائین دست به صورت رابطه ۵ بیان می‌شود. همان‌گونه که از این رابطه مشخص است، ماتریس معلومات سمت راست به سه ماتریس تفکیک شده است. ماتریس اول که در آن جواب‌ها، بدون در نظر گرفتن شرط مرزی بالادست یا پائین دست، به دست می‌آیند. این جواب‌ها به صورت نماد Q_{00} یا (Z_{00}) نشان داده می‌شوند. ماتریس دوم با ضریب Q_1^{t+dt} (دبی ورودی به ابتدای بازه در زمان $t + dt$) و ماتریس سوم با ضریب Z_n^{t+dt} (رقوم سطح آب در زمان $t + dt$ در انتهای باز) به ترتیب تأثیر شرط مرزی بالادست و پائین دست را در جواب‌ها نشان می‌دهند. جواب‌ها در این حالت‌ها به ترتیب با نمادهای (Q_{10}) یا (Z_{10}) و (Q_{01}) یا (Z_{01}) نشان داده می‌شوند. این روش تفکیک ماتریس معلومات سمت راست به سه ماتریس، که بنام روش خط تأثیر معروف است، اولین بار توسط سوبی و همکاران استفاده شده است. (۱۳)

$$\begin{aligned} a_{mi} &= -\frac{\beta Q_i^n T_{Wi}^n}{A_i^n \times \Delta t} - \frac{g A_i^n \theta}{x_{i+1} - x_{i-1}} \\ b_{mi} &= \frac{1}{\Delta t} + \frac{2\beta\theta Q_{i-1}^{n+1}}{(x_{i+1} - x_{i-1}) A_i^n} - \frac{\beta Q_i^n}{(A_i^n)^2} \times \frac{A_{i+1}^n - A_{i-1}^n}{x_{i+1} - x_{i-1}} + \frac{g Q_i^n n_{mi}^2}{A_i^n R_i^{4/3}} \\ c_{mi} &= -\frac{\beta Q_i^n T_{Wi}^n}{A_i^n \times \Delta t} + \frac{g A_i^n \theta}{x_{i+1} - x_{i-1}} \\ d_{mi} &= \frac{Q_i}{\Delta t} + \frac{2\beta(1-\theta) Q_{i-1}^{n+1}}{(x_{i+1} - x_{i-1}) A_i^n} - \frac{\beta Q_i^n T_{Wi}^n (Z_{i+1}^n + Z_{i-1}^n)}{A_i^n \Delta t} - \\ g A_i^n (1-\theta) \frac{Z_{i+1}^n - Z_{i-1}^n}{x_{i+1} - x_{i-1}} \end{aligned}$$

در روابط فوق n و $n+1$ نشان‌دهنده گام‌های زمانی و θ پارامتر وزنی مربوط به زمان است که اگر برابر با صفر در نظر گرفته شود، روش کاملاً صریح و اگر یک باشد، روش کاملاً ضمنی برای منفصل کردن استفاده شده است. فرم ماتریسی همه معادلات پیوستگی و

$$\left| \begin{array}{cccccccccc} b_{p2} & c_{p2} & 0 & 0 & 0 & 0 & 0 & 0 & 0 & 0 \\ a_{n\delta} & b_{n\delta} & c_{n\delta} & 0 & 0 & 0 & 0 & 0 & 0 & 0 \\ 0 & a_{p4} & b_{p4} & c_{p4} & 0 & 0 & 0 & 0 & 0 & 0 \\ 0 & 0 & a_{n\delta} & b_{n\delta} & c_{n\delta} & 0 & 0 & 0 & 0 & 0 \\ \cdot & \cdot \\ \cdot & \cdot \\ \cdot & \cdot \\ 0 & 0 & 0 & 0 & 0 & a_{n(n-3)} & b_{n(n-3)} & c_{n(n-3)} & 0 & \\ 0 & 0 & 0 & 0 & 0 & 0 & a_{p(n-2)} & b_{p(n-2)} & c_{p(n-2)} & \\ 0 & 0 & 0 & 0 & 0 & 0 & 0 & a_{n(n-1)} & b_{n(n-1)} & \end{array} \right| = \left| \begin{array}{c} Z_2^{t+\Delta t} \\ Q_3 \\ Z_4 \\ Q_5 \\ \cdot \\ \cdot \\ \cdot \\ Q_{N-3} \\ Z_{N-2} \\ Q_{N-1} \end{array} \right| + Q_1^{t+\Delta t} \times \left| \begin{array}{c} d_{p2} \\ d_{m3} \\ d_{p4} \\ d_{m5} \\ \cdot \\ \cdot \\ \cdot \\ d_{m(n-3)} \\ d_{p(n-2)} \\ d_{m(n-1)} \end{array} \right| - Z_n^{t+\Delta t} \times \left| \begin{array}{c} -a_{p2} \\ 0 \\ 0 \\ 0 \\ \cdot \\ \cdot \\ \cdot \\ 0 \\ 0 \\ -c_{n(n-1)} \end{array} \right| \quad (5)$$

انتهای کاتال بسته باشد، شرط جریان صفر نیز قابل بررسی است. دبی ورودی در هر گام زمانی $n+1$ با میان‌یابی از هیدروگراف ورودی به دست می‌آید و با استفاده از رابطه زیر که از منفصل کردن معادله پیوستگی روی مقطع آخر به دست آمده، رقوم سطح آب برای گام زمانی $n+1$ در مقطع آخر، به عنوان شرط مرزی وارد دستگاه معادلات می‌شود.

$$Z_{ns}^{n+1} = Z_{ns}^n - \frac{\Delta t}{T_{W_{ns}}^n} \times \frac{Q_{ns}^n - Q_{ns-1}^n}{x_{ns} - x_{ns-1}} \quad (6)$$

در رابطه بالا اندیس ns نشان‌دهنده مقطع آخر می‌باشد. همچنین Q_{ns}^n و Z_{ns}^n توسط رابطه دبی-اشل پایاب با هم مرتبط هستند.

شرایط مرزی داخلی

در یک شبکه آبیاری، محل آبگیری کاتال‌های درجه کوچکتر از کاتال با درجه بزرگتر و یا سازه‌های تنظیم سطح آب، به عنوان شرط

شرایط اولیه

دبی و عمق جریان اولیه، در تمام کاتال‌ها به عنوان شرط مرزی اولیه می‌تواند به مدل معرفی شود. علاوه بر این، به منظور جلوگیری از واگرا شدن حل معادلات، می‌توان با در نظر گرفتن عمق جریان اولیه در هر یک از کاتال‌های فرعی، دبی را با توجه به رابطه دبی-اشل در انتهای باز و یا رابطه مانینگ در مدل محاسبه نمود و سپس دبی کاتال‌های با درجه بزرگتر در محل اتصال‌ها، از جمع دبی کاتال‌های فرعی به دست آید و این روند تا رسیدن به ابتدای کاتال انتقال ادامه یابد.

شرایط مرزی باز

در یک شبکه آبیاری و زهکشی، شرط مرزی باز معمولاً شامل دبی ورودی به سیستم در بالادست و سطح آب یا رابطه دبی-اشل در انتهای که از روابط جریان یکنواخت به دست می‌آید می‌باشد. چنانچه

شماره ۱ کانال شماره ۳ به دست آمده از حل فرم ماتریسی با در نظر گرفتن ماتریس اول سمت راست، ماتریس دوم و ماتریس سوم، $b_3(3, ns_3)$ رقوم سطح آب در مقطع آخر کانال شماره ۳، a_3 و ضرایبی که با توجه به نوع آب گیر، مقدار بازشدنی و طول سریزی آن، برای هر نوع آب گیر تعريف می شود و نهایتاً Z_{03} رقوم آستانه آب گیر است که به ازای رقوم سطح آب کمتر از آن در محل گره J1 جریان وارد کانال شماره ۳ نمی گردد.

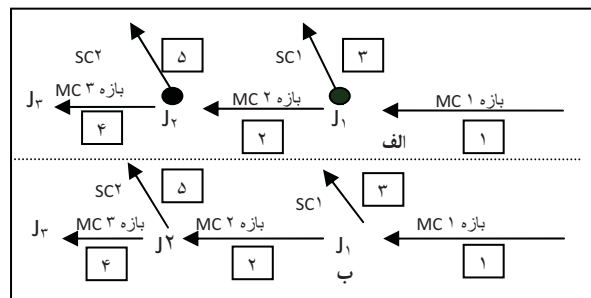
به تعداد انشعابات موجود در شبکه، روابطی همچون روابط ۷ یا ۸ بر حسب رقوم سطح آب در محل انشعابات نوشته می شوند. از آنجایی که روابط مذکور در حالت کلی غیرخطی هستند، به روش تکراری در مدل تهیه شده در این تحقیق حل می شوند و مقادیر رقوم سطح آب در گرهها به صورت خمنی به دست می آیند. برتری این روش در مقایسه با روش های صریح، پایداری بهتر دستگاه معادلات حاکم می باشد. پس از به دست آوردن رقوم سطح آب در محل انشعابات با حل دستگاه معادلات، که یک نمونه آن در رابطه ۵ نشان داده شده است، مقادیر دبی جریان و رقوم سطح آب در هر گام زمانی در تمام شبکه به دست می آید.

به منظور حل دستگاه معادلات و به دست آوردن دبی و عمق جریان در مقاطع مورد نظر در هر زمان مطلوب، مدلی کامپیوترا توسعه مؤلفین این مقاله در محیط ویژوال بیسیک نوشته شده است که در آن دستگاه معادلات سه قطربی حاصل شده با الگوریتم ماتریس سه قطبی (TDMA)، حل می شود. به منظور تسهیل در وارد کردن اطلاعات مقاطع عرضی و شرایط مرزی بالا دست و پائین دست، محیط ویژوال بیسیک با محیط اکسل جفت شده است؛ به گونه ای که تمام اطلاعات از قبیل کیلومتری مقاطع، مشخصات هندسی مقاطع برداشت شده، ضرایب زبری، هیدروگراف و رودی به عنوان شرط مرزی بالا دست و رابطه دبی - اشل به عنوان شرط - مرزی پائین دست، در محیط اکسل وارد گردیده و سپس در محیط ویژوال بیسیک فراخوانی می شوند. علاوه بر این، همزمان با اجرای مدل، نتایج به صورت هیدروگراف دبی یا هیدروگراف اشل و به صورت گرافیکی در مقاطع از قبل تعیین شده ترسیم می شوند. در حالت کلی، مدل برای مقاطع نامنظم هندسی نوشته شده است که به راحتی می تواند شبکه های زهکشی طبیعی را نیز، که در آن به ازای انشعاب در محل گرهها اتصال زهکشی وجود دارد، شبیه سازی نماید.

محدوده مورد مطالعه

محدوده مورد مطالعه این تحقیق کانال انتقال (MC) شبکه آبیاری و زهکشی دریند کرمانشاه، از محل سد انحرافی رازآور تا محل انشعاب کانال (PC1) از آن، به طول ۱۴ کیلومتر و ۵ کانال درجه دو منشعب شده از آن می باشد. همچنین دهانه های آب گیر منشعب شده از

مرزی داخلی می باشد. مثلاً محل اب گیری کانال درجه دو (SC) از کانال اصلی (MC) یا درجه یک (PC) با توجه به نوع آب گیری جریان کانال درجه دو از کانال درجه یک، که می تواند به صورت کنترل شده (کنترل بالا دست) یا بدون کنترل (کنترل پائین دست) باشد، شرط مرزی داخلی متفاوت است (شکل ۱).



شکل ۱- دو نوع انشعاب (الف) با کنترل (ب) بدون کنترل

در شرایط بدون کنترل، معادله حاکم برای گرهها با فرض برقراری رابطه پیوستگی جریان در محل انشعاب و یکسان بودن $[z(1,ns1)=z(2,1)=z(3,1)=z]$ رقوم سطح آب در هر سه انشعاب به صورت رابطه ۷ در گره J1 نوشته می شود:

$$F(J_1) = Q_1 - (Q_2 + Q_3) = Q_{00}(1, ns_1 - 1) + Q_{10}(1, ns_1 - 1) \times Q(1, 1) + Q_{01}(1, ns_1 - 1) \times Z_{J_2} - [Q_{00}(2, 2) + Q_{10}(2, 2) \times Z_{J_1} + Q_{01}(2, 2) \times Z_{J_2}] - [Q_{00}(3, 1) + Q_{10}(3, 1) \times Z_{J_1} + Q_{01}(3, 1) \times Z(3, ns_3)] \quad (7)$$

در شرایط کنترل شده، معادله حاکم برای گرهها، با فرض برقراری رابطه پیوستگی جریان در محل انشعاب و معلوم بودن رابطه بین دبی آب گیری کانال درجه ۲ و رقوم سطح آب در محل انشعاب که بسته به نوع آب گیر متفاوت است، به صورت رابطه ۸ در گره J1 نوشته می شود :

$$F(J_1) = Q_1 - (Q_2 + Q_3) = Q_{00}(1, ns_1 - 1) + Q_{10}(1, ns_1 - 1) \times Q(1, 1) + Q_{01}(1, ns_1 - 1) \times Z_{J_2} - [Q_{00}(2, 2) + Q_{10}(2, 2) \times Z_{J_1} + Q_{01}(2, 2) \times Z_{J_2}] - [Q_3 \times (Z_{J_1} - Z_{03})^b] \quad (8)$$

که در روابط ۷ و ۸، Q_1 ، Q_2 و Q_3 به ترتیب دبی جریان در انتهای کانال ۱، ابتدای کانال ۲ و ابتدای کانال شماره ۳ می باشد. جریان در مقطع شماره (ns1-1) کانال شماره ۱ که به ترتیب از حل فرم ماتریسی، با در نظر گرفتن ماتریس اول سمت راست، ماتریس دوم و ماتریس سوم رابطه ۵ به دست می آیند. ($Q(1, 1)$ دبی ورودی به شاخه ۱ از مقطع شماره ۱ در زمان $t + dt$ و Z_{J_2} به ترتیب رقوم سطح آب در محل گره شماره ۱ و ۲ می باشند). شماره ۲ کانال شماره ۲، به دست آمده از حل فرم ماتریسی با در نظر گرفتن ماتریس اول سمت راست، ماتریس دوم و ماتریس سوم، $Q_{01}(3, 1)$ دبی جریان در مقطع

همچنین بیشترین میزان خطا در محاسبه عمق جریان $0/0209$ درصد و مربوط به کanal های شماره ۱ و ۲ می باشد. همچنین بهمنظور بررسی توانایی مدل در شبیه سازی جریان غیرماندگار، از نتایج تحقیق جا و همکاران (۲۰) استفاده گردید. در تحقیق مذکور، پروفیل سطح آب در یک کanal دوزنده ای با جریان یکنواخت، ۳۵۴ ثانیه بعد از بسته شدن کامل دریچه انتهایی آن به صورت ناگهانی، ارائه شده است. طول کanal 5 کیلومتر، باشیب طولی $5/79$ ، شیب جانبی 1 افقی به $1/5$ قائم، عمق جریان $0/000785$ متر و سرعت جریان $1/47$ متر بر ثانیه می باشد. در اثر بسته شدن دریچه، یک موج مثبت بالارونده در طول کanal از انتهایا به طرف ابتدای کanal ایجاد می شود. در شکل ۴ پروفیل سطح آب شبیه سازی شده توسط مدل ارائه شده در این تحقیق و نتایج اندازه گیری شده توسط جا و همکاران (۱۰)، با هم مقایسه شده اند. همان گونه که ملاحظه می شود مدل مذکور به خوبی موج ایجاد شده در کanal را شبیه سازی می نماید. لازم به ذکر است پروفیل محاسبه شده توسط مدل به ازای گام زمانی 6 ثانیه، فاصله مقاطع 50 متر و پارامتر وزنی مربوط به زمان $0/9$ ارائه شده است.

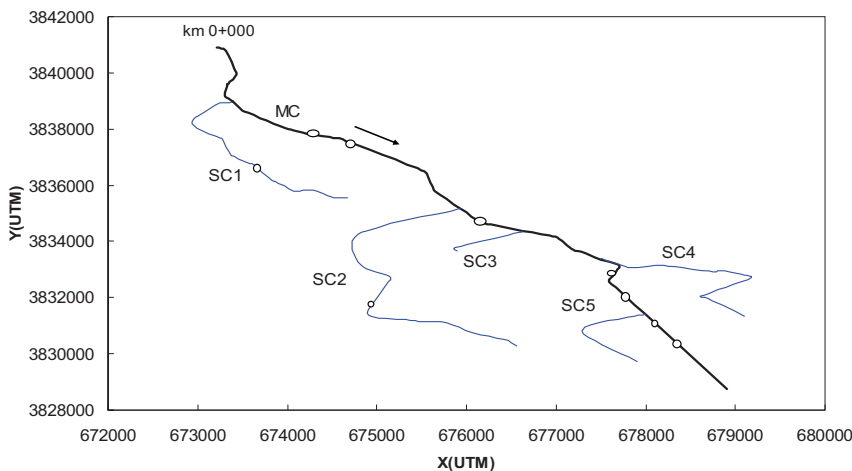
کanal انتقال به صورت مستقیم و آب گیر کanal های درجه دو نیز در نظر گرفته شده اند. در شکل ۲ پلان محدوده مورد مطالعه نشان داده شده است. آب گیر های منشعب شده از کanal انتقال به صورت دایره های توخالی در شکل مذکور نمایش داده شده اند. در جدول ۱ مشخصات عمومی کanal های محدوده این تحقیق ارائه شده است.

نتایج و بحث

صحت سنجی مدل

به منظور بررسی توانایی مدل در شبیه سازی جریان متغیر تدریجی ماندگار، از سیستم کanal های رویا نشان داده شده در شکل ۳ و اطلاعات ارائه شده در مرجع ۲ استفاده شد. همه کanal ها داری مقطع مستطیلی و جریان در آنها زیر بحرانی است. عمق جریان در کanal 6 برابر 5 متر و دبی ورودی به سیستم 250 متر مکعب بر ثانیه می باشد. سایر مشخصات هندسی سیستم حلقه ای نشان داده شده در شکل ۳، در جدول ۲ ارائه شده است.

در جدول ۳ مقادیر عمق جریان و دبی محاسبه شده در هر یک از کanal ها با مقادیر ارائه شده در چادری (۸) ذکر شده است. بیشترین خطای محاسبه دبی $7/0$ درصد و مربوط به کanal شماره 5 است.

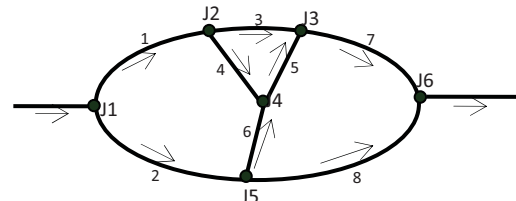


شکل ۲- پلان موقعیت شبکه آبیاری میان دربند کرمانشاه

جدول ۱- مشخصات عمده کanal های محدوده مورد مطالعه

کanal	عرض کف (متر)	طول کanal (متر)	شیب جانبی (Z)	دبی ابتدای کanal (متر مکعب بر ثانیه)
MC	۵	۱۴۰۸۰	$1/5$	$17/71$
SC1	$0/45, 0/3$	۴۳۷۵	$1/5$	$0/38$
SC2	$0/45, 0/3$	۶۵۱۲	$1/5$	$0/38$
SC3	$0/45$	۱۰۶۷	1	$0/25$
SC4	$0/45$	۳۶۹۸	$1/5$	$0/6$
SC5	$0/45$	۲۱۸۳	1	$0/26$

شیب	ضریب زبری	عرض	طول(متر)	کanal
.۰/۰۰۰۵	.۰/۰۱۳	۳۰	۲۰۰	۱
.۰/۰۰۰۵	.۰/۰۱۳	۴۰	۲۰۰	۲
.۰/۰۰۰۵	.۰/۰۱	۲۰	۲۰۰	۳
.۰/۰۰۰۵	.۰/۰۱۴	۲۰	۱۰۰	۴
.۰/۰۰۰۵	.۰/۰۱۳	۲۰	۱۰۰	۵
.۰/۰۰۰۵	.۰/۰۱۳	۲۵	۱۰۰	۶
.۰/۰۰۰۵	.۰/۰۱۴	۳۰	۱۰۰	۷
.۰/۰۰۰۵	.۰/۰۱۴	۵۰	۳۰۰	۸

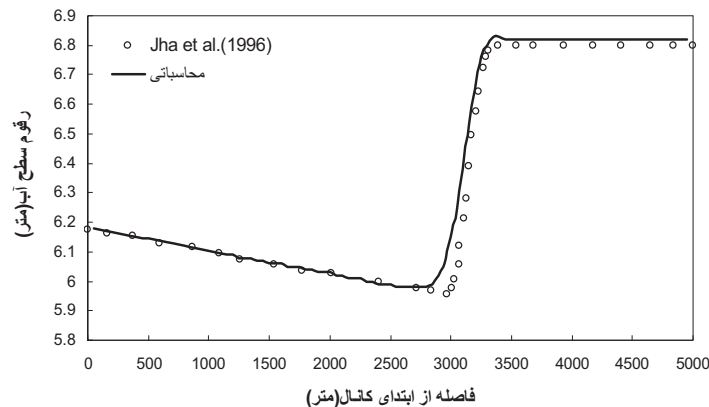


شکل ۳- نحوه اتصال کanal ها در سیستم ارائه شده توسط چادری (۸)

جدول ۳- مقایر دبی (Q) و عمق جریان (Y) محاسبه شده در طول کanal توسط مدل این تحقیق و ارائه شده در چادری (۸)

کanal ۴			کanal ۳			کanal ۲			کanal ۱		
$Q_1=4/65\text{m}^3/\text{sec}$	$Q_1=55/93\text{m}^3/\text{sec}$	$Q_1=152/254\text{m}^3/\text{sec}$	$Q_1=4/65\text{m}^3/\text{sec}$	$Q_1=55/92\text{m}^3/\text{sec}$	$Q_1=152/254\text{m}^3/\text{sec}$	$Q_1=4/65\text{m}^3/\text{sec}$	$Q_1=55/92\text{m}^3/\text{sec}$	$Q_1=152/254\text{m}^3/\text{sec}$	$Q_1=4/65\text{m}^3/\text{sec}$	$Q_1=55/92\text{m}^3/\text{sec}$	$Q_1=152/254\text{m}^3/\text{sec}$
$Y_2(\text{m})$	$Y_1(\text{m})$	فاصله									
۴/۸۵۳	۴/۸۵۳	.	۴/۸۵۳	۴/۸۵۳	.	۴/۷۵۵	۴/۷۵۴	.	۴/۷۵۵	۴/۷۵۴	.
۴/۸۶۶	۴/۸۶۵	۲۵	۴/۸۷۸	۴/۸۷۷	۵۰	۴/۷۸	۴/۷۷۹	۵۰	۴/۷۸	۴/۷۷۹	۵۰
۴/۸۷۸	۴/۸۷۷	۵۰	۴/۹۰۳	۴/۹۰۲	۱۰۰	۴/۸۰۴	۴/۸۰۳	۱۰۰	۴/۸۰۴	۴/۸۰۳	۱۰۰
۴/۸۹۱	۴/۸۹۰	۷۵	۴/۹۲۸	۴/۹۲۷	۱۵۰	۴/۸۲۸	۴/۸۲۸	۱۵۰	۴/۸۲۹	۴/۸۲۸	۱۵۰
۴/۹۰۳	۴/۹۰۲	۱۰۰	۴/۹۵۲	۴/۹۵۱	۲۰۰	۴/۸۵۳	۴/۸۵۳	۲۰۰	۴/۸۵۳	۴/۸۵۳	۲۰۰
کanal ۸			کanal ۷			کanal ۶			کanal ۵		
$m^3/\text{sec} 142238 Q_1 =$	$m^3/\text{sec} 107762 Q_1 =$	$m^3/\text{sec} 12014 Q_1 =$	$m^3/\text{sec} 52669 Q_1 =$	$m^3/\text{sec} 14742 Q_2 =$	$m^3/\text{sec} 107757 Q_2 =$	$m^3/\text{sec} 11011 Q_2 =$	$m^3/\text{sec} 52660 Q_2 =$	$m^3/\text{sec} 14742 Q_1 =$	$m^3/\text{sec} 107757 Q_1 =$	$m^3/\text{sec} 12014 Q_1 =$	$m^3/\text{sec} 52669 Q_1 =$
$Y_2(\text{m})$	$Y_1(\text{m})$	فاصله									
۴/۸۵۳	۴/۸۵۲	.	۴/۹۵۲	۴/۹۵۱	.	۴/۸۵۳	۴/۸۵۲	.	۴/۹۰۳	۴/۹۰۲	.
۴/۸۹۰	۴/۸۸۹	۷۵	۴/۹۶۴	۴/۹۶۳	۲۵	۴/۸۶۵	۴/۸۶۸	۲۵	۴/۹۱۵	۴/۹۱۴	۲۵
۴/۹۲۷	۴/۹۲۶	۱۵۰	۴/۹۷۷	۴/۹۷۶	۵۰	۴/۸۷۸	۴/۸۷۷	۵۰	۴/۹۲۸	۴/۹۲۷	۵۰
۴/۹۶۴	۴/۹۶۳	۲۲۵	۴/۹۸۹	۴/۹۸۸	۷۵	۴/۸۹۰	۴/۸۸۹	۷۵	۴/۹۴۰	۴/۹۳۹	۷۵
۵/۰۰۰	۵/۰۰۰	۳۰۰	۵/۰۰۰	۵/۰۰۰	۱۰۰	۴/۹۰۳	۴/۹۰۲	۱۰۰	۴/۹۵۲	۴/۹۵۲	۱۰۰

نمایه ۱ مربوط به چادری (۸) و نمایه ۲ برای نتایج تحقیق حاضر است



شکل ۴- مقایسه پروفیل سطح آب محاسبه شده توسط مدل با نتایج ارائه شده توسط جا و همکاران (۱۰)

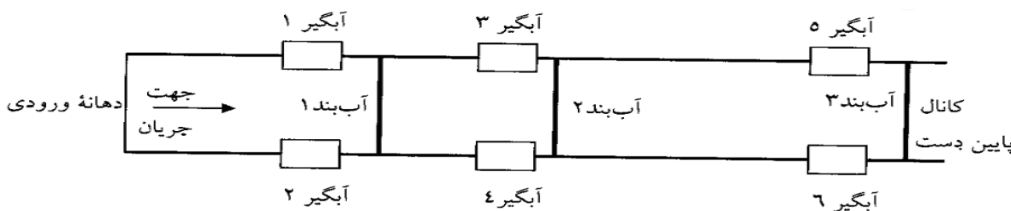
قرار گرفت. دستورالعمل تنظیم سازه‌ها در این گزینه، در جدول ۵ آورده شده است. سپس رفتار جریان و تعیین میزان دبی تحویلی به آب‌گیرها در برنامه زمانی ۶ ساعته تعیین شده است.

تفییرات دبی نسبت به زمان در محل سازه‌های آببند، قبل از اعمال شرایط بهره‌برداری گزینه ۵ و بعد از آن، در شکل ۶ نشان داده است. همان‌گونه که ملاحظه می‌شود، روند تغییرات دبی نسبت به زمان در هر دو مدل شبیه هم می‌باشد. دبی جریان عبوری از روی هر سه آببند پس از برقراری شرایط ماندگار، کاملاً یکسان است. در شکل ۷ تغییرات دبی تحویلی نسبت به زمان، بعد از اعمال تغییرات بهره‌برداری، برای دو آب‌گیر نمونه شماره ۴ و ۵ نشان داده شده است. تطابق خوبی بین نتایج مدل حاضر با مدل ICSS برقرار است. مقدار دبی نهایی تحویلی در هر دو مدل برابر است. در زمان غیرماندگاری، اندک اختلاف موجود بین نمودارها می‌تواند ناشی از تغییرات ضربیت تخلیه آب‌گیر در طی تغییرات رقوم سطح آب در محل آب‌گیر باشد که در تحقیق حاضر این ضربیت مقدار ثابت ۶/۰ در نظر گرفته شده است.

به منظور بررسی توانایی مدل در شبیه‌سازی جریان غیرماندگار در یک کanal منفرد آبیاری با وجود انواع سازه چک و آب‌گیر، از نتایج ارائه شده توسط منعم و همکاران (۶) استفاده شد. تحقیق مذکور با تحلیل جریان‌های غیرماندگار ایجاد شده در شبکه آبیاری در اثر تغییر نیاز آب‌گیرها، دستورالعمل بهره‌برداری از کanal EIR1 را با استفاده از مدل هیدرودینامیکی ICSS ارائه نموده است. برای شبیه‌سازی جریان غیرماندگار در کanal‌های آبیاری می‌باشد (۱۱).

کanal EIR1 با متوسط ضربیت زبری ۰/۰۱۷، دارای ۶ سازه آب‌گیر و ۳ سازه آب‌بند (چک) است. تنظیم تراز سطح آب در کanal برای هر دو آب‌گیر در طریفین کanal، با یک سازه آب‌بند انجام می‌شود. شکل ۵ شماتیک کanal EIR1 و سازه‌های موجود در مسیر آن را نشان می‌دهد.

همچنین مشخصات هندسی کanal EIR1 که به ۱۲ بازه تقسیم شده است، در جدول ۵ ارائه شده است. به منظور مقایسه، گزینه بهره‌برداری شماره ۵ ارائه شده توسط منعم و همکاران (۶) مورد استفاده



شکل ۵- شماتیک کanal EIR1 و سازه‌های موجود در مسیر

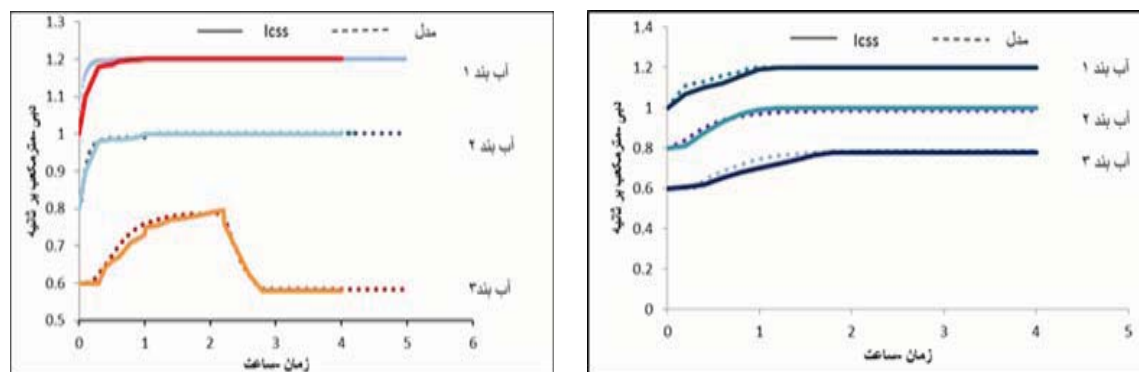
جدول ۴- مشخصات کanal EIR1 از شبکه آبیاری دز

بازه	کیلومتر از	طول بازه (m)	شیب طولی	عرض کف (m)	سازه پایین دست	سازه بالا دست	سازه پایین دست
۱	۱-۱۰۰	۱۰۰	۰/۰۰۰۱۵	۱/۵	ورودی کنترل شده	آب‌گیر روزنه‌ای ۱	-
۲	۱۰۰-۱۰۱	۱	۰/۰۰۰۱	۱/۵	-	آب‌گیر روزنه‌ای ۲	-
۳	۱۰۰-۱۰۰۳	۲	۰/۰۰۰۱	۱/۵	سازه آب‌بند ۱	-	-
۴	۱۰۰۳-۱۰۰۷/۵	۴/۵	۰/۰۰۰۲۲	۱	ادامه کanal	-	-
۵	۱۰۰۷/۵-۱۲۷۷/۵	۲۷۰	۰/۰۰۱۱۷	۱	سازه آب‌بند ۱	آب‌گیر روزنه‌ای ۳	-
۶	۱۲۷۷/۵-۱۲۷۸/۵	۱	۰/۰۰۱	۱	-	آب‌گیر روزنه‌ای ۴	-
۷	۱۲۷۸/۵-۱۲۸۰/۵	۲	۰/۰۰۱	۱	سازه آب‌بند ۲	-	-
۸	۱۲۸۰/۵-۱۲۸۳/۵	۳	۰/۰۰۰۲۸	۱	ادامه کanal	-	-
۹	۱۲۸۳/۵-۲۰۱۳	۷۲۹/۵	۰/۰۰۱۰۹	۱	ادامه کanal	-	-
۱۰	۲۰۱۳-۲۸۲۷	۸۱۴	۰/۰۰۰۱۲	۱	سازه آب‌بند ۲	آب‌گیر روزنه‌ای ۵	-
۱۱	۲۸۲۷-۲۸۲۸	۱	۰/۰۰۲	۱	-	آب‌گیر روزنه‌ای ۶	-
۱۲	۲۸۲۸-۲۸۳۰	۲	۰/۰۰۰۵	۱	-	سازه آب‌بند ۳	-

جدول ۵- دستورالعمل تنظیم سازه ها در گزینه ۵ قبل از بهره برداری

دبي کanal اصلی*	دبي کanal پایین	دبي آبگیر ۵	دبي آبگیر ۶	دبي آبگیر ۳	دبي آبگیر ۴	دبي کanal اصلی*
زمان (ساعت)	ارتفاع آب بند ۳	ارتفاع آب بند ۲	ارتفاع آب بند ۱	ارتفاع آب بند ۰	ارتفاع آب بند ۱	زمان (ساعت)
شرایط بهره برداری						
۰	۰/۱۲۸	۰/۱۲۸	۰/۱	۰/۱۵	۰/۰۶۶	۰/۲۳۳
۱	۰/۱۲۸	۰/۱۲۸	۰/۱	۰/۰	۰/۰۶۳	۰/۲۱۷
۲	۰/۱۲۸	۰/۱۲۸	۰/۱	۰/۰	۰/۰۶۳	۰/۲۱۷
۳	۰/۱۲۸	۰/۱۲۸	۰/۱	۰/۰	۰/۰۶۳	۰/۰۶۳
۴	۰/۱۲۸	۰/۱۲۸	۰/۱	۰/۰	۰/۰۶۳	۰/۰۶۳
بعد از بهره برداری						
دبي کanal اصلی*	دبي کanal پایین	دبي آبگیر ۵	دبي آبگیر ۶	دبي آبگیر ۳	دبي آبگیر ۴	دبي کanal اصلی*
زمان (ساعت)	ارتفاع آب بند ۳	ارتفاع آب بند ۲	ارتفاع آب بند ۱	ارتفاع آب بند ۰	ارتفاع آب بند ۱	زمان (ساعت)
۰/۲	۰/۰۶	۰/۰۶	۰/۰۱	۰/۰۱	۰/۰۱	۰/۱
۱/۲	۰/۰۶	۰/۰۶	۰/۰۱	۰/۰۱	۰/۰۱	۰/۱

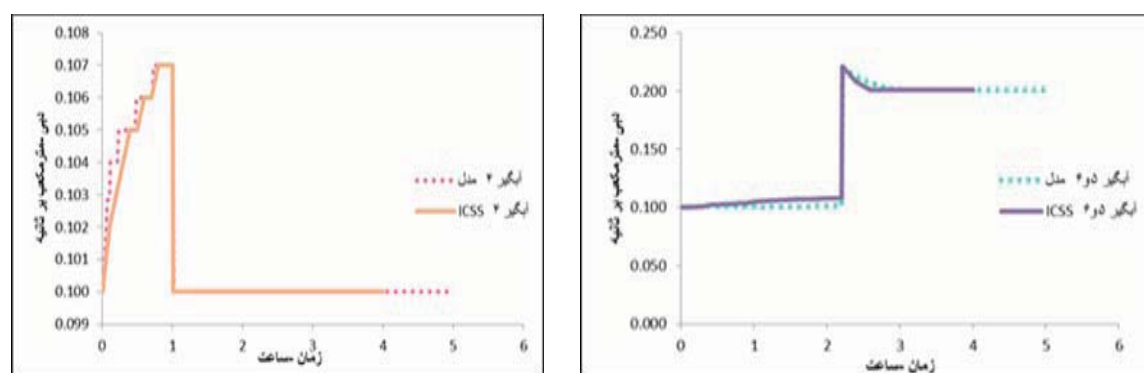
*: دبی بر حسب مترمکعب بر ثانیه، باز شدگی دریچه بر حسب مترمربع و ارتفاع آب بند بر حسب متر



ب- بعد از بهره برداری

الف- قبل بهره برداری

شکل ۶- نمودار تغییرات دبی نسبت به زمان در سازه های تنظیم کننده



ب- آبگیر شماره ۴

الف- آبگیر شماره ۵ یا ۶

شکل ۷- نمودار تغییرات دبی نسبت به زمان آبگیر ۵ و ۶ و ۴، بعد از بهره برداری

دانستن دو موضوع برای مدیریت شبکه ضروری است. اول اینکه در اثر این تغییر ناگهانی کاهش دبی، مقدار دبی هر یک از کanal‌های فرعی و آب‌گیرها چه مقدار تغییر خواهد نمود و دبی خروجی از انتهای کanal انتقال، که به نواحی عمرانی پائین دست می‌رسد چه مقدار است. موضوع دوم اینکه چه مدت زمان طول می‌کشد که اثر اغتشاش جریان به محل آب‌گیرها برسد و زمان غیرماندگاری در محل هر آب‌گیر، چه مدت به طول می‌انجامد. شکل (۸-الف)، تغییرات دبی جریان نسبت به زمان از شروع محاسبات را برای مقاطع ابتدایی بازه‌های مختلف کanal انتقال (MC)، نشان می‌دهد. همان‌گونه که ملاحظه می‌شود، هرچه فاصله بازه از ابتدای کanal اصلی بیشتر باشد زمان رسیدن غیرماندگاری جریان به آنجا بیشتر است؛ در عوض مدت زمانی که شرایط جریان غیرماندگار حاکم است بیشتر طول می‌کشد. همچنین شکل (۸-ب) نحوه تغییرات دبی هر یک از آب‌گیرهای کanal‌های درجه دو، در اثر کاهش ۲۵ درصدی دبی ورودی به سیستم را نشان می‌دهد.

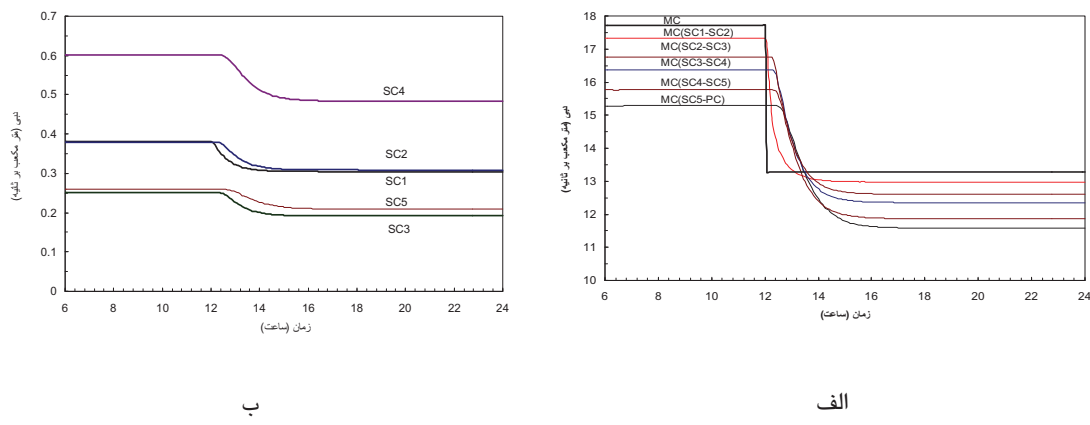
مقادیر ارائه شده در جدول ۷ نشان می‌دهد در اثر کاهش ۲۵ درصدی دبی ورودی به شبکه آبیاری، چند درصد دبی کanal اصلی در بازه‌های مختلف تغییر می‌نماید و چه مدت زمان طول می‌کشد که اثر غیرماندگاری جریان به ابتدای هر بازه برسد.

پس از صحبت‌سنجدی مدل و اطمینان از توانایی مدل در شبیه-سازی جریان ماندگار و غیرماندگار، به بررسی تأثیر باز و یا بسته شدن ناگهانی بخشی از دریچه آبگیر ورودی شبکه آبیاری دریند بر روی عملکرد سیستم آبیاری و مقدار آب‌گیری هر یک از کanal‌های درجه ۲ و همچنین آب‌گیرهایی که مستقیماً از کanal اصلی آب‌گیری می‌نمایند، پرداخته شد. بدین منظور ابتدا برای شرایط جریان ماندگار، پارامترهای a و b (در رابطه ۸) برای هریک از آب‌گیرها در مدل به-گونه‌ای تغییر داده شد که دبی آب‌گیری برابر با نیاز هیدرومدول شبکه برای کanal پائین دست یا واحد زراعی باشد. یادآور می‌شود پارامتر b، با توجه به نوع آب‌گیری عددی بین ۰/۰ تا ۱/۵ می‌باشد. برای هر شبکه با توجه به نوع آب‌گیر، اعم از آب‌گیر ساده، دریچه نیرپیک و... مقدار b تعیین می‌گردد. برای برخی آب‌گیرها، به ویژه دریچه‌های نیرپیک، پارامتر b با توجه به رقوم سطح آب از ۰/۵ برای شرایط جریان روزنامه‌ای تا ۱/۵ برای شرایط جریان سرریزی تغییر می‌کند. مقادیر پارامتر a و b برای آب‌گیرهای محدوده مورد مطالعه، در زمان پیک مصرف به ازای دبی کل ورودی به سیستم، معادل ۱۷/۷۱ مترمکعب بر ثانیه به شرح جدول زیر به دست آمده است.

حال چنانچه جریان ورودی به شبکه، که در حالت ماندگار برابر با ۱۷/۷۱ مترمکعب بر ثانیه می‌باشد، ۱۲ ساعت پس از شروع محاسبات به صورت ناگهانی به مقدار ۲۵ درصد کاهش یابد، در این صورت

جدول ۶- دبی آب‌گیرهای محدوده مورد مطالعه به همراه پارامترهای کالیبره شده برای هر آب‌گیر در شرایط ماندگار

کanal	شماره آب‌گیر(شکل ۴) (لیتر بر ثانیه)	دبی آب‌گیر پارامتر (a)	دبی آب‌گیر پارامتر (b)
Mc	۱	۰/۲۵	۷۰
(Sc1-Sc2)	۲	۰/۳۴۷	۱۲۰
Mc	۱	۰/۴	۱۴۰
(Sc2-Sc3)	۱	۰/۴۶	۱۵۰
Mc	۲	۰/۱۰۶	۷۰
(Sc4-Sc5)	۱	۰/۱۸۷	۱۳۰
Mc	۲	۰/۱۰۲	۷۰
(Sc5-Pc)	۱	۰/۱۴۲۵	۳۸۰
Sc1	آب‌گیر ابتدای کanal	۰/۱۶۵	۳۸۰
Sc2	آب‌گیر ابتدای کanal	۰/۱۷۶	۲۵۰
Sc3	آب‌گیر ابتدای کanal	۰/۲۴۳	۶۰۰
Sc4	آب‌گیر ابتدای کanal	۰/۱۰۸	۲۶۰
Sc5	آب‌گیر ابتدای کanal		



شکل ۸- تأثیر کاهش ۲۵ درصدی دبی ورودی به سیستم (الف) بر روی دبی جریان در ابتدای بازه های مختلف کanal انتقال (ب) بر روی دبی ورودی به هر یک از کanal های فرعی

جدول ۷- تغییرات دبی و زمان رسیدن غیرماندگاری جریان به ابتدای بازه های مختلف کanal انتقال در اثر کاهش ۲۵ درصدی دبی ورودی به شبکه

کanal	دبی اولیه جریان (مترا مکعب بر ثانیه)	دبی جریان بعد از تغییرات (مترا مکعب بر ثانیه)	درصد کاهش دبی	مدت زمان رسیدن اثر غیرماندگاری جریان به ابتدای بازه (ساعت)
MC	۱۷/۷۱	۱۳/۲۸۲۵	۲۵	.
(Sc1- Sc2) بین	۱۷/۳۲	۱۲/۹۸	۲۵	۰/۰۸
(Sc2- Sc3) بین	۱۶/۷۶	۱۲/۶۱	۲۴/۷۶	۰/۲۵
(Sc3- Sc4) بین	۱۶/۳۶	۱۲/۳۵	۲۴/۵۱	۰/۳۳
(Sc4- Sc5) بین	۱۵/۷۶	۱۱/۸۷	۲۴/۶۸	۰/۴۱
(Sc5- PC) بین	۱۵/۲۸	۱۱/۵۸	۲۴/۲۱	۰/۵۸

جریان در محل آب گیرها محو شود. علاوه بر این، زمان رسیدن اولین اغتشاش به آب گیر اول $0/0.8$ ساعت و برای آخرین آب گیر، که کanal SC5 است، $0/0.58$ ساعت می باشد.

همان گونه که در جدول ۸ نیز ارائه شده است، کاهش ۲۵ درصدی دبی ورودی به سیستم، دبی کanal های فرعی را از حداقل $18/68$ درصد در کanal SC2 تا $15/15$ درصد در کanal SC3 تغییر می دهد. بین $3/0.8$ تا $4/42$ ساعت زمان لازم است که اثر اغتشاش

جدول ۸- تغییرات دبی و زمان رسیدن و تداوم غیرماندگاری در محل آب گیر کanal های درجه ۲ در اثر کاهش ۲۵ درصدی دبی ورودی به شبکه

کanal	دبی اولیه جریان (لیتر بر ثانیه)	دبی جریان بعد از تغییرات (لیتر بر ثانیه)	درصد کاهش دبی	مدت زمان رسیدن اثر غیرماندگاری جریان(ساعت)	مدت زمان رسیدن اثر غیرماندگاری تداوم غیر ماندگاری (ساعت)
Sc1	۳۸۰	۳۰۴	۲۰	۰/۰.۸	۳/۰.۸
Sc2	۳۸۰	۳۰۹	۱۸/۶۸	۰/۰.۸	۳/۵
Sc3	۲۶۰	۱۹۲	۲۶/۱۵	۰/۰.۸	۳/۵
Sc4	۶۰۰	۴۸۴	۱۹/۶	۰/۰.۸	۳/۷۵
Sc5	۲۶۰	۲۱۰	۱۹/۲۳	۰/۰.۸	۴/۴۲

نتیجه‌گیری

نتایج مدل حاضر با نتایج مدل ICSS در شبیه‌سازی جریان غیرماندگار در یک کanal منفرد با انواع سازه‌های آب‌گیر و آب‌بند وجود دارد.

علاوه بر این، نتایج اجرای مدل برای بخشی از شبکه آبیاری دربند کرمانشاه نشان داد با کاهش ناگهانی دبی ورودی به سیستم به مقدار ۲۵درصد، دبی کانال‌های فرعی SC1 تا SC5 به ترتیب ۲۰، ۳/۰۸، ۱۸/۶۸، ۲۶/۱۵، ۱۹/۶، ۱۹/۲۳ و ۲۶/۴ درصد کاهش می‌کند. همچنین ۴/۴۲ ساعت زمان لازم است که اثر اغتشاش جریان در محل آب‌گیرها محو شود. بدینهی است در این مدت زمان، تنظیم دبی دریچه‌های آب‌گیر با دقت انجام پذیر نمی‌باشد و ۰/۵۸ ساعت زمان لازم است تا اثر غیرماندگاری جریان، خود را به آب‌گیر کanal SC5 برساند.

تهیه و توسعه یک مدل ریاضی- کامپیوترا کمک مدیریتی، برای شبیه‌سازی جریان غیرماندگار در شبکه‌های آبیاری، مورد توجه این تحقیق قرار گرفته است. در مدل ارائه شده، معادلات جریان غیرماندگار (معادلات سنت-ونانت) با روش تفاضل‌های محدود منفصل شده‌اند. رقوم جریان در محل انشعاب کanal فرعی از اصلی، با استفاده از روش خط تأثیر و به صورت کاملاً خصمنی در هر گام زمانی تعیین می‌گردد. نتایج صحت‌سنگی مدل نشان داد که مدل تهیه شده برای جریان غیرماندگار با دقت بسیار بالایی توانایی شبیه‌سازی جریان ماندگار متغیر تدریجی غیریکنواخت، در یک شبکه حلقه‌ای پیچیده را دارد؛ همچنین مدل به خوبی پروفیل سطح آب در جریان غیرماندگار ناشی از بسته شدن ناگهانی دریچه انتهایی یک کanal ذوزنقه‌ای را شبیه‌سازی می‌نماید و تطابق نسبتاً مناسبی بین

منابع

- ۱- قدوسی ح. ۱۳۸۵. طبقه بندی جامع جریان‌های غیرماندگار از دیدگاه بهره‌برداری در کanal‌های آبیاری و تهیه مدل ریاضی مدیریت بهینه آنها. رساله دکتری، گروه سازه‌های آبی، دانشگاه تربیت مدرس.
- ۲- قدوسی ح، بنی هاشمی م.ع. و منعم م.ج. ۱۳۸۶. شبیه‌سازی عددی جریان غیرماندگار سریع با شرط مرزی درونی با استفاده از روش MacCormak-TVD. ششمین کنفرانس هیدرولیک ایران، دانشگاه شهر کرد.
- ۳- کسب دوز ش، منعم م.ج. و کوچک زاده، ص. ۱۳۷۷. کاربرد مدل هیدرودینامیک ICSS در تعیین مناسب ترین گرینه توزیع آب در شبکه آبیاری قوری چای، مجموعه مقالات نهمین همایش کمیته ملی آبیاری و زهکشی، تهران.
- ۴- کیاپاشا م.ص. و منعم م.ج. ۱۳۸۸. توسعه و ارزیابی مدل سیستم کنترل خودکار بالادست. مجله پژوهش آب ایران. جلد چهارم
- ۵- محسنی موحد ا.ا. ۱۳۸۱. تهیه مدل ریاضی بهینه سازی عملکرد کanal‌های آبیاری با استفاده از روش sa. مجله علوم پایه، علوم پایه، آزاد اسلامی واحد علوم تحقیقات، (۴۴)۱۲.
- ۶- منعم م.ج. و منعم م.ج. ۱۳۸۴. بررسی رفتار جریان غیرماندگار کanal‌های آبیاری در شرایط تغییرات نیاز و تعیین دستورالعمل مناسب بهره‌برداری (مطالعه موردی کanal EIR1 از شبکه دز)، مجله تحقیقات مهندسی کشاورزی، ۶(۲۴).
- ۷- منعم م.ج. و نوری م.ع. ۱۳۸۹. کاربرد الگوریتم بهینه سازی PSO در توزیع و تحويل بهینه آب در شبکه‌های آبیاری، مجله آبیاری و زهکشی ایران، شماره ۱.
- 8- Chaudhry M.H. 1993. Open channel flow. Prentice-Hall, Englewood Cliffs, New Jersey. Calgary Univ., Alberta, Canada .
- 9- Habib Z., Shahid B., and Bhutta M. 1992. The utility of a simulation model for Pakistan canal systems . semegref IIMI international workshop on the application of the mathematical modeling for the improvement of irrigation canal operation, October 26-30, Montpellier, france,pp:131-150.
- 10- Jha A.K., Akiyama J., and Ura M. 1996. A fully conservation Beam and Warming scheme for transient open channel flow. Journal of hydraulic research , 34(5): 605-621.
- 11- Manz D.H. 1985. Systems Analysis of Irrigation Conveyance Systems. Thesis as part of the requirements of Doctor of Philosophy in Civil Engineering, University of Alberat, Edmonton, Alberta,Canada.
- 12- Monem M.J. 1996. Performance evaluation and optimization of irrigation canal systems using genetic algorithm. Ph.D. Dissertation, Department of Civil Engineering, Calgary University., Alberta, Canada.
- 13-Sobey R.J., Adil T.S., and Vidler P.F. 1980. User's Guide STFLO/VB2. James Cook University of North Queensland, Department of Civil and System Engineering, Research Bulletin No.CS22.



Mathematical Model to Simulate Unsteady Flow in Irrigation Networks with Internal Boundary Conditions (A Case Study, Darband Irrigation Network)

R. Ghobadian^{1*}- S. Gholzari²

Received:23-4-2012

Accepted:6-12-2012

Abstract

Unsteady flow causes a lot of problems for optimal operational of irrigation networks, hence precise understanding of this flow is necessary. Therefore in this study a computer model has been developed to simulate the unsteady flow produced by delivery and disturbance of water and immediate variation of input discharge in irrigation network. Present model solves partial differential equations of 1-D unsteady flow (Saint-Venant equations) by finite differencing method. Water surface elevation at junction location is calculated implicitly by using of matrix properties and influence line technique. Result of model verification showed developed model simulates water surface profile of positive surge in a trapezoidal channel after sudden closure of end gate. Also developed model for unsteady flow, can simulated steady state gradually varied flow in a complex loop with a very high accuracy. Additionally there are relatively good agreement between the result of present model with results of ICSS model for simulation of unsteady flow in a single channel(E1R1 channel of Dez network) with different kind of check and intake structures. After model verification, main channel of Darband irrigation network with 14 kilometer length with five secondary channels simulated integrate. Simulation results showed that without any operational performance, 25% sudden reduction of input discharge to main channel reduces discharge of secondary channels between 18.68 to 26.15 percent. Additionally 4.42 hours take place until the effect of unsteady flow fluctuation is disappeared at the location of SC5 channel's intake.

Keywords: Mathematical model, Darband irrigation network, Unsteady flow simulation, Saint-Venant equation

1,2- Assistant Professor and Msc Student, Department of Water Engineering, Faculty of Agriculture, Razi University, Kermanshah

(*- Corresponding Author Email: rsghobadian@gmail.com)